

УДК 539.4.01

©1995

## НАРУШЕНИЕ ЗАКОНА ХОЛЛА-ПЕТЧА В МИКРО- И НАНОКРИСТАЛЛИЧЕСКИХ МАТЕРИАЛАХ

Г.А.Малыгин

Физико-технический институт им. А.Ф.Иоффе Российской академии наук,  
194021, Санкт-Петербург, Россия  
(Поступила в Редакцию 27 декабря 1994 г.)

Обсуждается механизм аномального поведения соотношения Холла-Петча в микро- и нанокристаллических материалах. Теоретический анализ основан на дислокационно-кинетической модели, согласно которой возникновение указанного соотношения обусловлено влиянием границ зерен на процесс деформационного упрочнения поликристаллического материала. В ультрамелкозернистых агрегатах границы зерен выступают не только в качестве барьеров, ограничивающих длину свободного пробега дислокаций, но также и в качестве стоков и мест аннигиляции дислокаций, что приводит к разупрочнению материала и нарушению соотношения Холла-Петча. Сопоставление экспериментальных и теоретических результатов показывает достаточно хорошее их соответствие друг другу.

Соотношение Холла-Петча ( $X-\Pi$ ) описывает влияние размера зерен на предел текучести [1–4] и напряжение течения [4–7] поликристаллического материала. В настоящее время существуют два различных объяснения возникновения указанного соотношения. Первое из них основывается на модели эстафетной передачи скольжения от зерна к зерну [1,2,4]. Границы зерен выступают при этом в качестве барьеров для плоских скоплений дислокаций, вызывающих концентрацию напряжений и активацию дислокационных источников в соседних зернах поликристалла.

Согласно другой модели [5,8,9], появление соотношения обусловлено влиянием границ зерен на процесс деформационного упрочнения поликристаллического агрегата. Границы рассматриваются в этой модели в качестве барьеров, ограничивающих длину свободного пробега дислокаций, что способствует более быстрому по сравнению с монокристаллом, накоплению их в поликристаллическом агрегате и интенсифицирует тем самым процесс его деформационного упрочнения. Убедительные свидетельства функционирования этого механизма приведены в [5–8].

В последнее время к соотношению  $X-\Pi$  было вновь привлечено внимание в связи с тем, что при размерах зерен  $d$  порядка нескольких микрон [10–12] и долей микрона (нанокристаллические материалы [13–18]) наблюдается сильное отклонение от обычных соотношений  $X-\Pi$  для предела текучести  $\sigma_y$ .

$$\sigma_y = \sigma_0 + k_y d^{-1/2} \quad (1)$$

$$H = H_0 + k_H d^{-1/2}. \quad (2)$$

Здесь  $\sigma_0$  — напряжение трения, испытываемое дислокациями при их движении внутри зерен,  $k_y$  — коэффициент Х-П,  $H_0$  и  $k_H$  — соответствующие параметры для микротвердости [3].

Так, в  $[10^{-12}]$  найдено, что в мелкозернистых сплавах цинка в противоположность (1) предел текучести снижается, а не возрастает с уменьшением величины зерен. Аналогичная ситуация имеет место для значений микротвердости в ряде нанокристаллических материалов: меди и палладия [13], сплавах Ti-Al [15], Ni-Fe [15] и Ni-P [18]. В результате при варьировании размеров кристаллитов в широких пределах от  $10^{-3}$  до  $10^2 \mu\text{m}$  в зависимостях  $\sigma_y(d)$  и  $H(d)$  наблюдаются максимумы при значениях  $d$  порядка  $1-10 \mu\text{m}$  и  $10-10^2 \text{ nm}$  соответственно в микротвердости [10-12] и нанокристаллических [13,18] агрегатах. Найдено, в частности, что на ниспадающей ветви кривой Х-П микротвердость нанокристаллических меди и палладия [13] изменяется в соответствии с законом  $H \sim d^n$ , где  $n = 0.5$  (Cu) и  $0.8$  (Pd) [14], в то время как на восходящей ветви микротвердость увеличивается с  $d$  в соответствии с выражением (2).

Нарушение соотношения Х-П в материалах со сверхмелким зерном обсуждалось в ряде работ. Согласно [12], в сверхпластичных сплавах снижение деформирующих напряжений может быть обусловлено низким сопротивлением этих материалов зернограничному проскальзыванию: чем меньше размер зерна, тем это сопротивление должно быть меньше. Что касается нанокристаллических материалов, то наблюданное при комнатной температуре снижение их микротвердости при уменьшении размеров кристаллитов авторы [13] объясняют вступлением в действие механизма вакансационной ползучести Кобла [19], контролируемого зернограничной диффузией вакансий. В [14,16] приведены оценки критических размеров зерен ( $2.5-20 \text{ nm}$ ), ниже которых в них становится невозможным образование плоских скоплений дислокаций, что, согласно эстафетному механизму [1,2,4], должно приводить к нарушению соотношения Х-П. При таких размерах зерен, как предполагается в [20], становится возможным кристаллографический сдвиг по границам кристаллитов, что и обуславливает наблюданную аномалию.

Таким образом, все предложенные до сих объяснения причины нарушения закона Х-П в ультрамелкозернистых материалах исходят из того, что в таких материалах ниже некоторого критического размера зерен начинает действовать отличный от случая крупнокристаллических агрегатов механизм пластической деформации, что и вызывает разупрочнение материала.

В настоящей работе сделана попытка подойти к объяснению наблюданного явления с чисто кинетических позиций, не привлекая для этого других, чем в крупнокристаллических образцах механизмов деформации. В основе модели лежит предположение о том, что в отличие от крупнозернистых в ультрамелкозернистых материалах границы зерен выступают не только в качестве барьеров, ограничивающих длину свободного пробега дислокаций, но и в качестве стоков неограниченной

емкости для дислокаций, где происходит аннигиляция последних. Таким образом, согласно модели, в материале с относительно крупным зерном должен доминировать процесс размножения дислокаций, что приводит к упрочнению материала и нормальному соотношению Х-П. В относительно же мелкозернистых агрегатах доминирующим становится процесс аннигиляции дислокаций в границах зерен, что вызывает разупрочнение материала при размерах зерен меньше некоторого характерного значения и нарушение соотношения Х-П. Как будет продемонстрировано дальше, сделанные предположения находятся в достаточно хорошем соответствии с экспериментальными данными и позволяют выявить ряд особенностей пластического деформирования материалов со сверхмелким зерном.

С учетом сказанного в первом разделе работы сформулированы основные уравнения модели, во втором — найдены количественные соотношения между напряжениями течения и размером зерен с учетом процесса аннигиляции дислокаций, в третьем — проведено сопоставление теоретических и экспериментальных результатов.

## 1. Основные уравнения

Прежде чем приступить к формулированию уравнений, опишем кратко ситуацию, касающуюся эволюции дислокационной структуры в пластически деформируемом микро- или нанокристаллическом материале. Экспериментальные [21–24] и теоретические [25, 26] результаты показывают, что в поликристаллах с относительно большим зерном в процессе деформации формируется ячеистая дислокационная структура с размером ячеек  $\Lambda \sim d^{1/2}$  [21, 24]. Однако, если размер кристаллитов становится меньше некоторого критического значения, ячеистая структура в материале не формируется [25–27]. Особенно четко это обстоятельство выявлено при сверхпластической деформации мелкозернистых сплавов. Характерной чертой их деформации является низкая плотность или даже полное отсутствие дислокаций внутри зерен [28, 29]. Очевидно, что при средних плотностях дислокаций  $10^6$ – $10^8 \text{ см}^{-2}$ , характерных для высокотемпературной деформации, и размерах кристаллитов порядка одного микрона на каждое зерно будет приходиться в среднем не более одной или нескольких дислокаций (рис. 1). Такая низкая плотность дислокаций обусловлена их стоком в границы зерен с последующей их аннигиляцией там [30, 31], что активизирует процесс

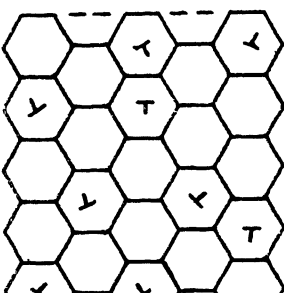


Рис. 1. Характер дислокационной структуры в микро- и нанокристаллических материалах.

зернограничного проскальзывания, миграцию границ, аккомодацию и повороты кристаллитов, рекристаллизацию зерен [32–34].

Еще в меньшей степени следы дислокационной активности проявляются при пластической деформации нанокристаллических материалов. Это обусловлено возможностью сильного поглощения дислокаций границами кристаллитов уже при комнатной температуре из-за высокой диффузионной подвижности и разупорядоченности составляющих границы атомов [35]. Хотя плотность дислокаций в таких материалах может быть высока  $10^{10} - 10^{11} \text{ см}^{-2}$  [36], но при размерах кристаллитов 10–100 nm на одно зерно в среднем будет приходиться не более одной или нескольких дислокаций.

С учетом сказанного кинетическое уравнение для средней плотности дислокаций  $\rho$  должно включать в себя следующие необходимые моменты: 1) как и в относительно крупнозернистых материалах, ограниченную размерами кристаллитов длину свободного пробега дислокаций, 2) повышенную роль границ как стоков и мест аннигиляции дислокаций и 3) наличие в каждом кристаллите не более одной или нескольких дислокаций. Последнее обстоятельство гарантирует, что местами преимущественной аннигиляции дислокаций являются границы и стыки зерен.

Этим требованиям удовлетворяет простое уравнение

$$\frac{d\rho}{dt} = \beta \frac{\dot{\varepsilon}}{bd} - \frac{\rho}{t_a}, \quad (3a)$$

где

$$t_a = \frac{d^2}{4\eta D_{\text{eff}}} - \quad (3b)$$

характерное время аннигиляции дислокаций при их переползании из объема зерен в границы или по границам в стыки зерен,

$$D_{\text{eff}} = D_L + \frac{\delta}{d} D_b - \quad (3c)$$

эффективный коэффициент диффузии, контролирующий процесс аннигиляции дислокаций,  $D_L$  и  $D_b$  — соответственно коэффициенты объемной и зернограничной диффузии,  $\delta$  — эффективная диффузионная ширина границ,  $t$  — время,  $\dot{\varepsilon}$  — скорость пластической деформации,  $b$  — вектор Бюргерса. Коэффициенты  $\beta \approx 1$  и

$$\eta \approx \frac{\eta_0 \mu b^3}{2\pi(1-\nu)kT} \quad (3d)$$

определяются соответственно геометрией скольжения и переползания дислокаций с учетом в последнем случае взаимодействия дислокаций с границами и стыками зерен. В (3d)  $\eta_0 \approx 3$ ,  $\nu$  — коэффициент Пуассона,  $\mu$  — модуль сдвига,  $k$  — постоянная Больцмана,  $T$  — температура.

Другим важным моментом модели является предположение, что, как и в относительно крупнокристаллическом материале, в мелкозернистом агрегате соотношение X-II определяется процессом деформационного упрочнения

$$\sigma = \sigma_0 + \alpha \mu b \rho^{1/2}, \quad (4)$$

где  $\alpha$  — коэффициент взаимодействия дислокаций. Поскольку  $d\rho/dt = (d\rho/d\varepsilon)\dot{\varepsilon}$ , где  $\dot{\varepsilon}$  — скорость пластической деформации, то уравнение (3а) можно записать в удобном для дальнейшего анализа виде

$$\frac{d\rho}{d\varepsilon} = \frac{\beta}{bd} - 4\eta \frac{D_{\text{eff}}}{\dot{\varepsilon} d^2} \rho. \quad (5)$$

Здесь  $\beta/bd$  — коэффициент размножения дислокаций,  $4\eta D_{\text{eff}}/\dot{\varepsilon} d^2$  — коэффициент их аннигиляции в границах и стыках зерен. Уравнения (4), (5) с учетом обозначений (3) позволяют качественно и количественно проанализировать влияние аннигиляции дислокаций на характер зависимости деформирующих напряжений от размера кристаллитов. Из уравнения (5), в частности, видно, что сильная зависимость коэффициента аннигиляции от размера кристаллитов предопределяет доминирующую роль аннигиляции дислокаций в ультрамелкозернистых материалах.

## 2. Кривые деформационного упрочнения

Интегрируя (5), находим зависимость средней плотности дислокаций

$$\rho = \rho_s \left( 1 - e^{-\varepsilon/\varepsilon_s} \right) \quad (6)$$

и напряжений течения (согласно (4))

$$\sigma = \sigma_0 + \sigma_s \left( 1 - e^{-\varepsilon/\varepsilon_s} \right)^{1/2} \quad (7)$$

от степени пластической деформации  $\varepsilon$ . Здесь

$$\rho_s = \frac{\beta \dot{\varepsilon} d}{4\eta D_{\text{eff}}}, \quad \sigma_s = \alpha \mu b \rho_s^{1/2}, \quad \varepsilon_s = \frac{\dot{\varepsilon} d^2}{4\eta D_{\text{eff}}} — \quad (8)$$

соответственно стационарные значения средней плотности дислокаций и напряжений течения  $\sigma - \sigma_0$  при достижении равновесия между процессами аккумуляции дислокаций в объеме зерен и их аннигиляции в границах и стыках кристаллитов,  $\varepsilon_s$  — деформация, необходимая для достижения этого равновесия. Видно, что чем меньше размер зерен, тем меньше значения  $\rho_s$ ,  $\sigma_s$  и  $\varepsilon_s$ .

Из (7) и (8) следует, что, когда аннигиляция дислокаций контролируется объемной диффузией ( $D_{\text{eff}} = D_L$ ), зависимость деформирующих напряжений от размера кристаллитов имеет вид

$$\sigma(\varepsilon, d) = \sigma_0 + \sigma_m (d/d_L)^{1/2} \left[ 1 - e^{-(d_L/d)^2 \varepsilon} \right]^{1/2}, \quad (9a)$$

где

$$\sigma_m = \alpha \mu (\beta b / d_L)^{1/2}, \quad \varepsilon_s = (d/d_L)^2, \quad d_L = (4\eta D_L / \dot{\varepsilon})^{1/2}. \quad (9b)$$

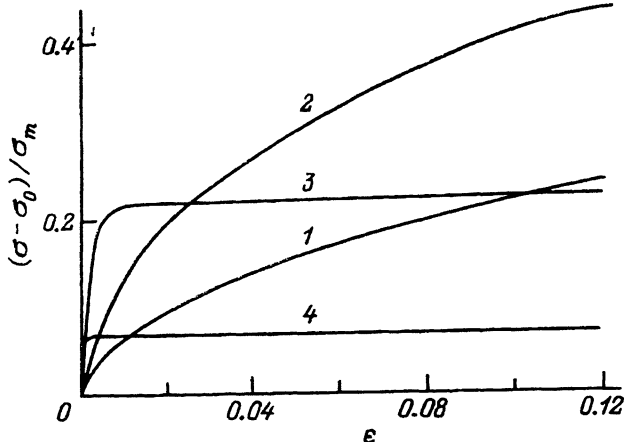


Рис. 2. Кривые деформационного упрочнения поликристаллов с разной величиной зерна согласно уравнению (9а).

$d/d_L$ : 1 — 2.0, 2 — 0.5, 3 —  $5 \cdot 10^{-2}$ , 4 —  $5 \cdot 10^{-3}$ .

Кривые деформационного упрочнения  $\sigma(\varepsilon)$  при различных значениях  $d/d_L$  от  $5 \cdot 10^{-3}$  до 2.0 показаны на рис. 2. Видно, что широкая вариация размеров зерен приводит к немонотонной зависимости напряжений течения от размера кристаллитов. При относительно больших зернах ( $d/d_L \approx 1$ ) напряжения возрастают с уменьшением размера кристаллитов (кривые 1 и 2) в соответствии с нормальным соотношением X-II, а при малых значениях  $d/d_L \ll 1$ , наоборот, измельчение зерен приводит к снижению напряжений (кривые 3 и 4) вследствие сильной аннигиляции дислокаций в мелкозернистом материале. Из обозначений (9б) видно также, что характерный размер зерен  $d_L$ , определяющий характер изменения деформирующего напряжения с  $d$ , зависит от коэффициента диффузии и скорости пластической деформации.

Если аннигиляция дислокаций контролируется зернограницей диффузией ( $D_{\text{eff}} = \delta D_b/d$ ), то вместо (9) имеем

$$\sigma = \sigma_0 + \sigma_m (d/d_b) \left[ 1 - e^{-(d_b/d)^3 \varepsilon} \right]^{1/2}, \quad (10a)$$

где

$$\sigma_m = \alpha \mu (\beta b/d_b)^{1/2}, \quad \varepsilon_s = (d/d_b)^3, \quad d_b = (4\eta\delta D_b/\dot{\varepsilon})^{1/3}. \quad (10b)$$

Уравнение (10а) качественно дает тот же результат, что и (9), но зависимость напряжений течения от размера кристаллитов имеет в рассматриваемом случае иной вид (см. следующий раздел).

Из уравнений (7)–(10) и рис. 2 следует, что в мелкозернистом агрегате ( $d \ll d_L, d_b$ ) напряжения течения быстро достигают стационарных значений

$$\frac{\sigma_s}{\mu} = \alpha \left( \frac{\beta \dot{\varepsilon} d_b}{4\eta D_{\text{eff}}} \right)^{1/2}, \quad (11a)$$

где  $\sigma_s = (\sigma - \sigma_0)_s$ . Зависимость скорости пластической деформации от стационарных напряжений, согласно (11а), должна иметь вид

$$\dot{\varepsilon} = A \frac{D_{\text{eff}}}{bd} \left( \frac{\sigma - \sigma_0}{\mu} \right)^2_s, \quad (11\text{b})$$

где  $A = 4\eta/\alpha^2\beta$ .

Подставляя в (11b) параметр  $\eta$  из (2), получаем зависимость  $\dot{\varepsilon}$  от напряжений в двух крайних случаях, а именно когда аннигиляция дислокаций контролируется соответственно объемной и зернограницей диффузией

$$\frac{\dot{\varepsilon}kT}{\mu b D_L} = A_L(b/d) \left( \frac{\sigma - \sigma_0}{\mu} \right)^2, \quad (12\text{a})$$

$$\frac{\dot{\varepsilon}kT}{\mu b D_b} = A_b(b/d)^2 \left( \frac{\sigma - \sigma_0}{\mu} \right)^2, \quad (12\text{b})$$

$$A_L = \frac{2\eta_0}{\pi(1-\nu)\alpha^2\beta}, \quad A_b = (\delta/b)A_L. \quad (12\text{c})$$

При значениях  $\eta_0 = 3$ ,  $\alpha = 0.3$ ,  $\beta = 1$  и  $\delta/d = 1-10$  из (12c) получа-ем оценки коэффициентов  $A_L \approx 30$  и  $A_b \approx 30-3 \cdot 10^2$ . Уравнение (12b) описывает известную из опыта зависимость скорости пластической деформации от размера зерен и напряжений течения в сверхпластичных материалах [37,38]. Что касается уравнения (12a), то, согласно данным [38], сверхпластичное состояние многих сплавов контролируется объ-емной диффузией.

### 3. Соотношение Холла–Петча

Как правило, соотношение X–П описывает зависимость от размера зерна предела текучести, т.е. напряжения, соответствующего пластической деформации 0.2%. Полагая в (9a)  $\varepsilon = 0.2\%$ , получаем зависи-мость предела текучести от  $d$  в виде

$$(\sigma_y - \sigma_0)/\sigma_{ym} = F(d_c/d) = (d/d_c)^{1/2} \left[ 1 - e^{-(d_c/d)^2} \right]^{1/2}, \quad (13\text{a})$$

где  $d_c = d_L \varepsilon^{1/2}$ ,  $\sigma_{ym} = \sigma_m \varepsilon^{1/4}$ ,  $\varepsilon = 0.2\%$ . Как видно из рис. 3,а, функция  $F(d_c/d)$  имеет максимум  $F_m = 0.8$  при  $(d_c/d)^{1/2} = 1.03$ . При относитель-но больших размерах кристаллитов ( $d \gg d_c$ ) она описывает обычное соотношение X–П

$$F(d_c/d) \approx (d_c/d)^{1/2} \sim d^{-1/2}. \quad (13\text{b})$$

Однако если  $d \ll d_c$ , то зависимость предела текучести от размера зерна становится противоположной (13b)

$$F(d_c/d) \approx (d/d_c)^{1/2} \sim d^{1/2}. \quad (13\text{c})$$

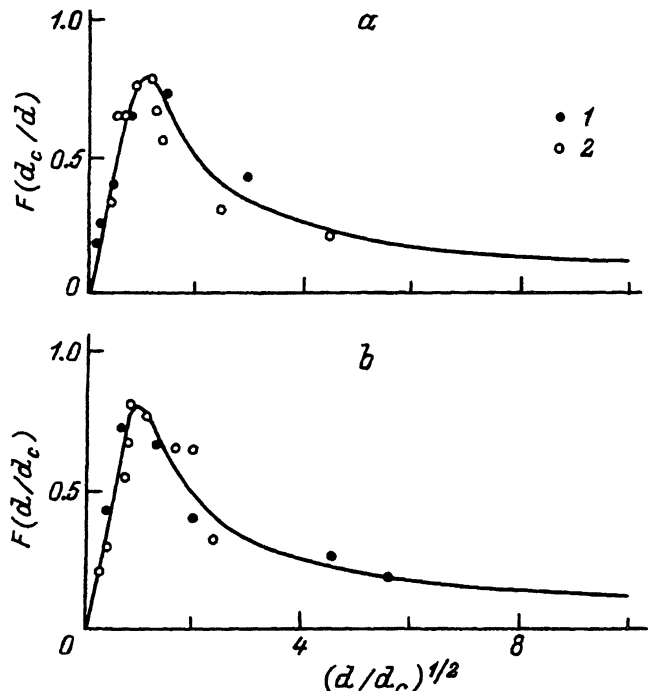


Рис. 3. Соотношение Х-П в прямых (a) и обратных (b) координатах согласно уравнению (13а).  
Экспериментальные точки: 1 — [11], 2 — [12].

Кривые на рис. 3, a и b демонстрируют зависимость Х-П в обычных и обратных ( $\sigma_y - \sigma_0 \sim d^{1/2}$ ) координатах. На этих рисунках приведены также экспериментальные зависимости предела текучести от размера зерна в сверхпластичном сплаве Zn-0.4%Al при 293 К согласно данным [11, 12]. Видно, что между теорией и экспериментом имеется достаточно хорошее соответствие. При обработке результатов [11, 12] было принято во внимание, что в (13а)  $\sigma_{ym} = (\sigma_{\max} - \sigma_0)/F_m$ , где  $\sigma_{\max}$  — значение  $\sigma_y$ , соответствующее максимуму кривой Х-П,  $\sigma_0$  — экстраполированное к  $d^{-1/2} = 0$  значение предела текучести (см. таблицу).

#### Значения параметров кривых Х-П в микро- и нанокристаллических материалах

Материал	Zn-0.4%Al		Zn-ZnO [10]			Cu	Ni-P
	[11]	[12]	$\dot{\varepsilon}_1$	$\dot{\varepsilon}_2$	$\dot{\varepsilon}_3$	[13]	[18]
$d_c$ , $\mu\text{m}$	6.0	10.0	1.6	2.0	3.1	0.0625	0.0073
$\sigma_0$ , MPa	30.6	20.0	55.0	34.5	27.6	—	—
$\sigma_{\max}$ , MPa	110.0	83.0	234.0	172.0	93.0	—	—
$H_0$	—	—	—	—	—	52.0	457.0
$H_{\max}$	—	—	—	—	—	295.0	700.0

Если аннигиляция дислокаций контролируется зернограничной диффузией ( $D_{\text{eff}} = \delta D/d$ ), из (10а) соответственно получаем

$$(\sigma_y - \sigma_0)/\sigma_{ym} = \Phi(d_c/d) = (d_c/d) \left[ 1 - e^{-(d_c/d)^3} \right]^{1/2}, \quad (14a)$$

где  $d_c = d_b \varepsilon^{1/3}$ ,  $\sigma_{ym} = \sigma_m \varepsilon^{1/3}$ ,  $\varepsilon = 0.2\%$ . Функция  $\Phi(d_c/d)$  достигает максимума  $\Phi_m = 0.8$  при  $(d_c/d)^{1/2} = 0.956$ . В относительно крупнозернистом агрегате, как и в предыдущем случае, имеем

$$\Phi(d_c/d) \approx (d_c/d)^{1/2} \sim d^{-1/2}, \quad (14b)$$

в то время как в ультрамелкозернистом

$$\Phi(d_c/d) \approx d/d_c \sim d. \quad (14c)$$

На рис. 4, а и б приведены для сравнения функции  $F(x)$  и  $\Phi(x)$ . Экспериментальные точки на этих рисунках демонстрируют, что в случае микрокристаллического сплава Zn-ZnO [10] нарушение соотношения X-П при размерах зерен  $d < d_c \approx 1.6-3.1 \mu\text{m}$  (см. таблицу) лучше описывается уравнением (14а), а не (13а). Это означает, что в рассматриваемом случае аннигиляция дислокаций контролируется не объемной, а зернограничной диффузией. При обработке результатов [10] было

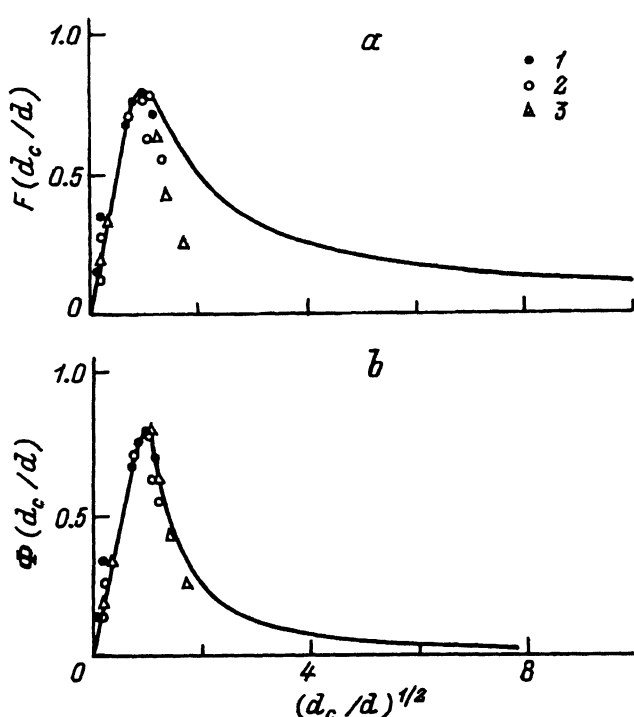


Рис. 4. Кривые X-П в сплавах Zn-ZnO согласно уравнениям (13а) (а) и (14а) (б) при различных скоростях деформации.

1 —  $\dot{\varepsilon}_1 = 3.3 \cdot 10^{-1}$ , 2 —  $\dot{\varepsilon}_2 = 3.3 \cdot 10^{-3}$ , 3 —  $\dot{\varepsilon}_3 = 3.3 \cdot 10^{-5} \text{ s}^{-1}$  [10].

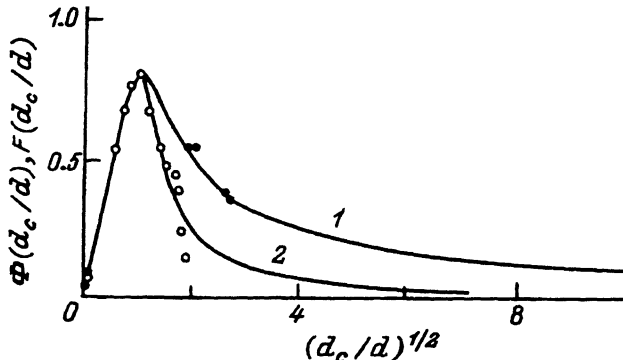


Рис. 5. Соотношение Х-П в нанокристаллических образцах меди [13] и сплава Ni-P [18].

1 — расчет согласно (13а), 2 — (14а).

принято во внимание, что в (14а)  $\sigma_{ym} = (\sigma_{max} - \sigma_0)/\Phi_m$ , где  $\sigma_{max}$  — значения напряжений текучести, отвечающие максимумам кривых Х-П при разных скоростях деформации.

Таким образом, сопоставление экспериментальных и теоретических результатов показывает, что в случае сверхпластичных сплавов с размерами зерен порядка 1–10 мкм между теорией и экспериментом имеется достаточно хорошее соответствие. Поэтому интересно установить, есть ли такое согласие между теорией и данными по нарушению соотношения Х-П в случае нанокристаллических материалов. Относительно доминирующего в них механизма пластической деформации существует дискуссия [13–20], причем, как уже было отмечено выше, в некоторых работах предполагается, что этот механизм не связан с перемещением дислокаций [13, 18].

Приведенные на рис. 5 результаты обработки данных по микротвердости нанокристаллических образцов меди [13] и сплава Ni-P [18] свидетельствуют о том, что их прочность, как и в случае макро- и микрокристаллических агрегатов, определяется конкуренцией процессов размножения и аннигиляции дислокаций. Из рис. 5 видно, что в сплаве Ni-P экспериментальные точки в области нарушения соотношения Х-П лучше соответствуют механизму аннигиляции дислокаций зернограничной диффузией. Необходимо отметить также, что при размерах зерен меньше 2 мкм (для сплава Ni-P  $d_c = 7.3$  мкм, см. таблицу) экспериментальные точки начинают систематически отклоняться от теоретической кривой, что может быть обусловлено отсутствием заметного различия между внутренними и приграничными областями зерен в таких ультрамикрокристаллических агрегатах.

Что касается нанокристаллической меди, то аннигиляция дислокаций в ней, как видно из рис. 5, контролируется объемной диффузией. При этом в соответствии с выражением (13с) величина микротвердости  $H \sim d^{1/2}$  [13]. Для нанокристаллического палладия  $H \sim d^{0.8}$  [13], что близко соответствует выражению (14с). Обработка результатов [12, 13] по микротвердости меди и палладия осуществлялась тем же способом, что и данных по пределу текучести. Значения  $H_{max}$  и  $d_c$  для

меди (см. таблицу) найдены с помощью интерполяции восходящего и нисходящего участков кривой Х-П.

Результаты анализа отклонений от соотношения Х-П в микро- и нанокристаллических материалах, приведенные выше, выходят, очевидно, за рамки этого соотношения и позволяют сделать некоторые выводы относительно физического механизма, контролирующего со противление деформированию, и особенности пластической деформации указанных материалов.

1) Как и в случае крупнозернистых агрегатов [39], напряжения течения определяются в них деформационным упрочнением и конкуренцией процессов размножения и аннигиляции дислокаций.

2) Специфика аннигиляции дислокаций в ультрамелкозернистых агрегатах состоит в том, что она развивается в границах зерен и тем быстрее (т.е. при более низкой температуре), чем мельче зерно. Из теории и эксперимента следует, что имеются два механизма аннигиляции, один из которых контролируется объемной, а другой — зернограницей диффузией. Можно предполагать, что действие первого механизма связано с процессом миграции границ, а второго — с процессом зернограниценного проскальзывания. Оба эти явления характерны для ультрамелкозернистых материалов и определяют их переход в сверхпластическое состояние.

3) Нарушение соотношения Х-П в рассматриваемых материалах есть результат сильной зависимости скорости аннигиляции дислокаций в них от размера кристаллитов.

Автор благодарит проф. А. Мукерджи (A.K. Mukherjee, США) за то, что он обратил внимание автора на работы, в которых нарушение соотношения Х-П было зафиксировано также и в нанокристаллических материалах.

### Список литературы

- [1] Hall E. J. Proc. Phys. Soc. (Lond.) **64B**, 381, 747 (1951).
- [2] Petch N.J. J. Iron Steel Inst. **174**, 1, 25 (1953).
- [3] Lasalmonie A., Strudel J.L. J. Mater. Sci. **21**, 6, 1837 (1986).
- [4] Armstrong R.W., Codd I., Douthwaite R.N., Petch N.J. Phil. Mag. **7**, 73, 45 (1962).
- [5] Конрад Г. Сверхмелкое зерно в металлах. М. (1973). С. 206–219.
- [6] Hansen N. Acta Met. **35**, 8, 863 (1977).
- [7] Al-Haidary J.T., Petch N.J., de los Rios E.R. Phil. Mag. **47A**, 6, 869 (1983).
- [8] Conrad H. Acta Met. **11**, 1, 75 (1963).
- [9] Ashby M.F. Phil. Mag. **21**, 170, 399 (1970).
- [10] Tromans D., Lund J.A. Trans. Quart. ASM **59**, 4, 672 (1966).
- [11] Naziri H., Pearce R. Scripta Met. **3**, 11, 672 (1969).
- [12] Валиев Р.З., Емалетдинов А.К., Кайбышев О.А. ФММ **54**, 3, 604 (1982).
- [13] Chokshi A.H., Rosen F., Karch J., Gleiter H. Scripta Met. **23**, 10, 1679 (1989).
- [14] Nieh N.G., Wadsworth J. Scripta Met. Mater. **25**, 4, 955 (1991).
- [15] Chang H., Hofler H.J., Alsteler C.J., Averbach R.S. Scripta Met. Mater. **25**, 5, 1161 (1991).
- [16] Suryanarayana C., Froes F.H. Metal. Trans. **23A**, 4, 1071 (1992).
- [17] Cheung C., Palumbo G., Erb U. Scripta Met. Mater. **31**, 6, 1739 (1994).
- [18] Palumbo C., Erb U., Aust K.T. Scripta Met. Mater. **24**, 12, 2347 (1990).
- [19] Coble R.L. J. Appl. Phys. **34**, 6, 1679 (1963).
- [20] Li Sh., Sun L., Wang Zh. Strength of Materials. ICSMA-10 / Ed. H. Oikawa, K. Marujima, S. Takeuchi, M. Yamaguchi. Japan Inst. Met. (1994). P. 873–876.
- [21] Conrad H., Fenerstein S., Rice L. Mater. Sci. Eng. **2**, 3, 157 (1967).

- [22] Fujita H., Tabata T. *Acta Met.* **21**, 1, 355 (1973).
- [23] Barlow C.Y., Bay B., Hansen N. *Phil. Mag.* **51A**, 2, 253 (1985).
- [24] Bay B., Hansen N., Huges D.A., kuhlmann-Wilsdorf D. *Acta Met. Mater.* **40**, 2, 205 (1992).
- [25] Малыгин Г.А. *ФТТ* **31**, 1, 175 (1989).
- [26] Малыгин Г.А. *ФТТ* **33**, 11, 3267 (1991).
- [27] Thomson A.W. *Metal. Trans.* **8A**, 6, 833 (1977).
- [28] Edington J.W. *Metal. Trans.* **13A**, 5, 703 (1982).
- [29] Valiev R.Z., Langdon T.G. *Acta Met.* **42**, 3, 949 (1994).
- [30] Pumphrey P.H., Gleiter H. *Phil. Mag.* **30**, 3, 593 (1974).
- [31] Smith D.A. *J. de Physique.* **43**, C-6, 225 (1982).
- [32] Kaibyshev O.A., Kazachkov I.V., Alexandrov I.A. *Acta Met.* **32**, 4, 585 (1984).
- [33] Valiev R.Z., Kaibyshev O.A. *Phys. Stat. Sol.* **44**, 2, 477 (1977).
- [34] Переvezенцев В.Н., Рыбин В.В., Чувильдеев В.Н. *Поверхность*, 4, 139 (1985).
- [35] Gleiter H. *Progr. Mater. Sci.* **33**, 4, 223 (1989).
- [36] Valiev R.Z., Kozlov E.V., Ivanov Yu.F., Lia J., Baudelet B. *Acta Met. Mater.* **42**, 7, 2467 (1994).
- [37] Langdon N.G. *Met. Trans.* **13A**, 5, 703 (1982).
- [38] Ariely A., Mukherjee A.K. *Metal. Trans.* **13A**, 5, 717 (1982).
- [39] Malygin G.A. *Phys. Stat. Sol. (a)* **119**, 12, 423 (1990).